

حذف سولفید از پساب با استفاده از فناوری جدید پیل سوختی میکربی و تولید همزمان انرژی پاک

پانیز ایزدی^۱، مصطفی رحیم‌نژاد^۱

۱- دانش‌آموخته کارشناسی ارشد، گروه بیوتکنولوژی، دانشکده مهندسی شیمی، دانشگاه صنعتی نوشیروانی بابل

۲- استادیار، گروه بیوتکنولوژی، دانشگاه مهندسی شیمی، دانشگاه صنعتی نوشیروانی بابل

(نویسنده مسئول) Rahimnejad@nit.ac.ir (۰۱۱۳) ۲۳۴۴۰۴

(دریافت ۹۳/۵/۱۶) پذیرش ۹۳/۱۲/۲۱

چکیده

تصفیه پساب به علت نقش و اهمیت آن مورد توجه پژوهشگران است. تصفیه پساب روش‌های متعددی دارد که معمولاً به زمان و هزینه زیادی نیاز دارند. پیل سوختی میکربی روشنی است که نگرش جدیدی را برای تولید جریان الکتریسیته و به طور همزمان، تصفیه پساب ارائه داده است. سولفید، یون بسیار خطرناکی است که به طور متداول در پساب‌ها وجود دارد. در این پژوهش از این یون به عنوان دهنده الکترون در محفظه بی‌هوایی استفاده شد و حذف غلظت‌های مختلف آن در پیل سوختی میکربی دو محفظه‌ای موربد بررسی قرار گرفت. افزایش سه غلظت سولفید، $0/1$ ، $0/5$ و $0/8$ گرم در لیتر به آنولیت بررسی شد. نتایج نشان داد نزدیک به 98% درصد از سولفید موجود در محلول آندی هر سه پیل به ترتیب بعد از 21 ساعت، 6 روز و 10 روز حذف شد. همچنین برای بررسی فعالیت الکتروشیمیایی میکروارگانیسم‌ها و اکسایش سولفید در محفظه کاتدی از ولتامتی چرخه‌ای استفاده شد.

واژه‌های کلیدی: تصفیه پساب، پیل سوختی میکربی دو محفظه‌ای، حذف سولفید

آب استفاده می‌شود؛ به عبارت دیگر، از واکنش بین هیدروژن و اکسیژن، آب، حرارت و الکتریسیته تولید می‌شود [۵]. مزایایی مانند بازدهی بالا، تنظیم سیستم بر حسب نیاز، سازگاری با قوانین محیط زیستی، انعطاف‌پذیری نسبت به سوخت، افزایش تولید و کاهش توزیع، عدم نیاز به تعمیر، توان بالا، قابل حمل و سبک بودن و چگالی انرژی بالا باعث شده که از پیل سوختی در زمینه‌های مختلف برای تولید انرژی مانند حمل و نقل، نیروگاه‌ها، وسائل الکترونیکی قابل حمل و صنایع نظامی استفاده شود [۶] و [۷]. لازم به ذکر است که قیمت بالای کاتالیست، خورنده‌گی زیاد الکتروولیت و شرایط سخت عملیاتی مانند دما و فشار بالا، عملکرد پیل‌های سوختی شیمیایی را با وجود بازده بالای آنها، تحت تأثیر قرار داده است [۷].

پیل سوختی میکربی دستگاهی است که انرژی بیوشیمیایی را به انرژی الکتریکی تبدیل می‌کند. این پیل‌ها جایگزین مناسبی برای روش‌های متداول تولید الکتریسیته در مقیاس‌های کوچک هستند. اساس این نوع پیل‌ها به این صورت است که سوبسترا توسط میکروارگانیسم اکسید می‌شود و الکترون و پروتون تولید می‌نماید.

۱- مقدمه

انرژی در زندگی و حیات انسان نقش مهمی ایفا می‌کند و رشد اقتصادی کشورها را تضمین می‌کند [۱]. در حال حاضر انرژی مورد نیاز دنیا بیشتر وابسته به سوخت‌های فسیلی است و تقریباً 86% درصد انرژی دنیا از این سوخت‌ها تأمین می‌شود [۲]. اما سوخت‌های فسیلی به ویژه نفت، تجدیدناپذیر است و در آینده با پایان یافتن دخانیات انرژی بروز می‌کند [۳]. همچنین احتراق سوخت‌های فسیلی به علت انتشار دی اکسید کربن اثرات منفی جدی بر محیط زیست دارد. نگرانی‌ها درباره تغییر اقلیم، افزایش نیاز جهانی به ذخایر نفت و گاز و کمبود انرژی، پژوهش‌ها را به سمت انرژی‌های نو برای جایگزینی سوخت‌های فسیلی سوق داده است [۴].

انرژی الکتریکی تولید شده به وسیله پیل‌های سوختی از انرژی‌های نو به حساب می‌آید. پیل سوختی یک مبدل است که انرژی شیمیایی را به انرژی الکتریکی تبدیل می‌کند. این تبدیل مستقیم است و از آنجاکه از تئوری چرخه کارنو تبعیت نمی‌کند از بازده بالایی برخوردار است. در این تبدیل از عمل عکس الکتروولیز

میکروارگانیسم در محفظه آندی استفاده شد. همچنین تاثیر غلظت‌های مختلف سولفید به عنوان سوبسترا بر عملکرد پیل و حذف آنها مورد بررسی قرار گرفت.

۲- مواد و روش‌ها

برای راهاندازی پیل از میکروارگانیسم‌های موجود در پساب به عنوان محیط کشت مخلوط در محفظه آندی از تصفیه‌خانه قائم‌شهر استفاده شد. برای ساخت تک سل پیل سوختی میکربی بر اساس پژوهش‌های صورت گرفته از یک پیل دو قسمتی شامل بخش آند و کاتد (گرافیت، $40 \times 30 \times 2$ میلی‌متر) مجزا از هم استفاده شد که توسط یک غشای عبور دهنده پروتون (غشاء نفیون 30×30 میلی‌متر) از هم جدا شده بودند. غشاء انتخاب شده قبل از استفاده در پیل سوختی میکربی، در چهار مرحله مختلف تحت عملیات پیش فراوری قرار گرفت تا ناخالصی‌ها از روی نفیون حذف شود و خاصیت رسانایی مطلوب آن به دست آید. برای خالص‌سازی ابتدا نفیون در محلول 30 درصد پراکسید هیدروژن به مدت یک ساعت جوشانده شد. پس از آن به مدت یک ساعت در آب جوش قرار گرفت و در مرحله بعد به مدت یک ساعت در اسید سولفوریک نیم مولار در حال جوش قرار داده شد و در مرحله آخر نیز به مدت یک ساعت در آب جوش قرار گرفت.

حجم داخلی هر کدام از محفظه‌ها 750 میلی‌لیتر بود که توسط یک استوانه رابط به طول قطر $2/5$ سانتی‌متر به یکدیگر مرتبط شده بود. جنس به کار رفته هر یک از محفظه‌ها از نوع پلاکسی گلس بود. دو محفظه توسط یک غشای عبور دهنده پروتون از جنس نفیون از هم تفکیک شده بودند. پیل با حجم کاری 600 میلی‌لیتر معادل 80 درصد از حجم محفظه آند به عنوان حجم کاری راهاندازی شد. محتويات محفظه آندی شامل بافر فسفات، 40 میلی‌لیتر از میکروارگانیسم مخلوط تهیه شده و غلظت‌های مختلف سولفید $1/10$ ، $1/5$ و $1/8$ مولار در لیتر بود. نمای شماتیک پیل راهاندازی شده در شکل ۱ آمده است.

برای تزریق سولفید در محفظه آندی پیل، از سدیم سولفید $(Na_2S \cdot 9H_2O)$ استفاده شد. برای ثابت ماندن pH از بافر فسفات $1/10$ مولار استفاده شد. برای ساختن بافر از پتابسیم فسفات (KH_2PO_4) و دی‌پتابسیم فسفات (K_2HPO_4) استفاده شد. این ترکیبات شیمیایی از شرکت مرک^۶ آلمان تهیه شد. واکنش‌های صورت گرفته در محفظه آند عبارت‌اند از:



⁶ Merck

الکترون‌های تولیدی از طریق یک مدار خارجی و پروتون‌ها از میان غشا به محفظه کاتدی منتقل می‌شوند [۸]. برخلاف پیل‌های سوختی شیمیایی، پیل‌های بیولوژیکی در شرایط ملایمی به عنوان مثال در دما و فشار محیط کار می‌کنند؛ همچنین در آنها به جای کاتالیست‌های گرانی مانند پلاتین از میکروارگانیسم استفاده می‌شود [۹]. پیل‌های سوختی میکربی می‌توانند علاوه بر تولید الکتریسیته به طور همزمان در تصفیه پساب نیز استفاده شوند. سولفید، یک آلاینده بی‌رنگ با بوی شبیه تخم مرغ گندیده است. مقدار قابل ملاحظه‌ای از این ماده در ارتباط با فعالیت‌های صنعتی از قبیل پالایش نفت، تصفیه فاضلاب، تصفیه گاز ترش، صنایع کاغذسازی و غیره تولید می‌شود. اخیراً به علت مشکلات حضور یون سولفید در پساب از قبیل بوی بسیار بد آن، اثرات سوبر سلامت انسان و اثر خوردگی بر بتن‌ها و دیگر مواد ساختمانی، حذف سولفید مورد توجه قرار گرفته است. حذف سولفید در پیل سوختی میکربی را بسیاری از پژوهشگران در دستور کار قرار داده‌اند. [۱۰]. این پژوهشگران بیان کردند که *Alcaligenes*^۱ و *Paracoccus*^۲ باکتری‌های مهمی برای اکسایش سولفید هستند. سان و همکاران نشان دادند که بیوکاتالیست‌ها نقش مهمی در تولید الکتریسیته در پیل سوختی میکربی تغذیه شده با سولفید بالجن بی‌هوایی دارند [۱۱]. در پژوهش دیگری، از باکتری سودوموناس^۳ در پیل سوختی میکربی دو محفظه‌ای برای حذف سولفید از پساب غنی از سولفید استفاده شده است [۱۰]. تولید جریان الکتریسیته با اکسایش بیولوژیکی سولفید به عنصر سولفور توسط ژائو و همکاران در سال 2008 نیز بررسی شد [۱۲]. سولفیدها به گونه‌های مختلف سولفور اکسایش پیدا می‌کنند؛ با توجه به پتانسیل اکسایش-کاهش و در شرایط واکنش خاص، بیش از 30 گونه مختلف تولید می‌شود. سولفید تحت شرایط استاندارد در پتانسیل حداقل بالاتر از $-0/247$ ولت در مقابل SHE^۴ به عنصر سولفور اکسایش پیدا می‌کند. افزایش پتانسیل بیشتر، سولفور را اکسید می‌کند. در پتانسیل‌های اکسایشی و کاهشی بالاتر، فرم‌های اکسایش یافته بیشتری از سولفور مانند سولفیت و سولفات تولید می‌شوند. همچنین پلی‌سولفیدها تولید می‌شوند که نتیجه حضور سولفیدها و عنصر سولفور شکل گرفته میکروبیولوژی است [۱۳].

در این پژوهش، پیل سوختی میکربی دو محفظه‌ای برای تولید جریان الکتریسیته راهاندازی شد. از محیط کشت مخلوط^۵ به عنوان

¹ *Alcaligenes* sp.

² *Paracoccus* sp.

³ *Pseudomonas* sp. C27

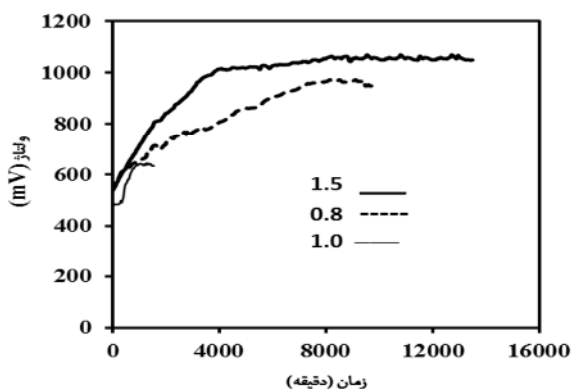
⁴ Standard Hydrogen Electrode (SHE)

⁵ Mixed Culture

که P توان تولیدی پیل است. همچنین جریان و توان تولیدی بر حسب مساحت سطح غشا نرمالیزه شد. از دستگاه پتانسیواست مدرن محصول هلند^۲ برای آنالیز ولتا متري چرخه ای برای بررسی فعالیت الکتروشیمیایی محلول آندی در این پژوهش استفاده شد. برای اندازه گیری سولفید از روش الکتروشیمیایی ولتا متري چرخه ای به وسیله دستگاه پتانسیو استفاده شد و با رسم منحنی کالیبراسیون، غلظت سولفید در زمان های مشخص رسم شد.

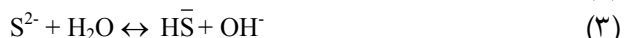
۳- نتایج و بحث

سه پیل سوختی میکروبی در شرایط ناپیوسته را اندازی شد. از سولفید با سه غلظت متفاوت به عنوان سوبسترا استفاده شد. برای ثبت ولتاژ مدار باز سیستم، دیتالاگر پس از افزودن سولفید تنظیم شد (شکل ۲). ابتدا غلظت ۸/۰ گرم در لیتر سولفید بررسی شد. پس از افزودن سولفید، ولتاژ سیستم افزایش یافت و در روز پنجم به بیشترین مقدار خود (۹۶۰ میلی ولت) رسید و این مقدار تا روز ششم ادامه داشت. همچنین تأثیر افزایش غلظت های ۱/۵ گرم در لیتر و ۱/۰ به ترتیب به عنوان بیشترین و کمترین غلظت بررسی شد. مانند قبل با افزودن سولفید، ولتاژ سیستم به شدت افزایش یافته و بعد از ۷ روز به مقدار بیشینه ۱۰۷۰ میلی ولت و پس از ۱۴ ساعت به میزان ۶۴۵ میلی ولت رسید.



شکل ۲- ولتاژ مدار باز سه پیل با غلظت اولیه ۱/۰، ۰/۸ و ۰/۵ گرم در لیتر از سولفید

ولتاژ هر سه سیستم بعد از مدتی به مقدار ثابت رسید. مشاهده شد پیل با غلظت سولفید بیشتر، عملکرد بهتری را نشان می دهد. برای مقایسه دقیق تر عملکرد و جریان تولیدی، پس از رسیدن پیل ها به شرایط ثابت و پایدار مقاومت ۱ کیلو اهم در مدارهای خارجی قرار داده شد (شکل ۳). جریان تولیدی در پیل با غلظت اولیه ۰/۸ گرم



واکنش محافظه آند



شکل ۱- نمای شماتیک پیل سوختی میکروبی دومحافظه ای

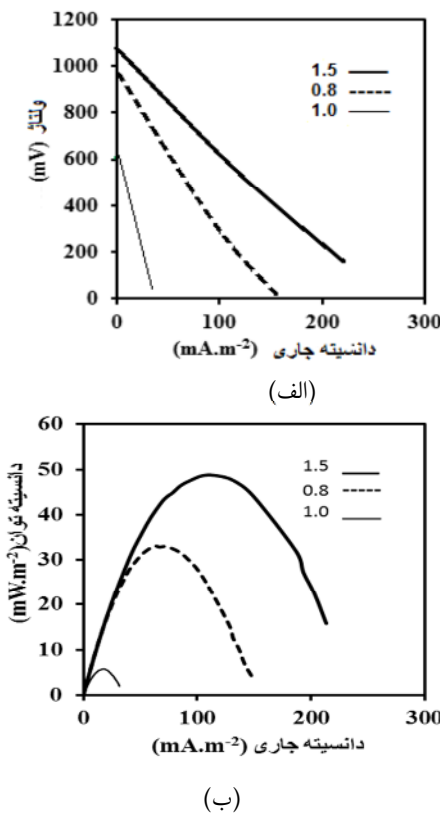
برای بدست آوردن جریان، از المان های مقاومتی در راستای ایجاد مقاومت های متغیر استفاده شد؛ زیرا این المان ها در دمای معمولی دارای یک مقاومت اهمی ثابت و پایدار و در ولتاژ های مختلف می باشند. در نتیجه، المان مقاومتی به دلیل نداشتن افت ولتاژ درون المان و نیز صفر بودن جریان نشستی، گزینه مناسبی برای ساخت دستگاه اندازه گیری است. در این روش برای قرار دادن بارهای مختلف مقاومتی روی پیل سوختی از ترکیب یک سیستم رله ای مقاومتی استفاده شد که می توان با سری کردن مقاومت های مختلف، بارهای مقاومتی دلخواه را ایجاد نمود و با قرار دادن آن روی پیل سوختی، اثر آن را مشاهده کرد. دستگاهی برای ثبت نتایج ولتاژ و جریان در پیل سوختی بیولوژیکی ساخته شد. برای ساخت آن ۱۵ مقاومت و ۱۶ رله مورد استفاده قرار گرفت. سیستم ساخته شده ۴۸ داده را دریافت می کرد و برنامه مورد استفاده برای ثبت نتایج، برنامه مطلب ویرایش ۱/۷^۱ بود. جریان تولید شده به وسیله MFC در مقیاس آزمایشگاهی با اندازه گیری پتانسیل در عرض بار الکتریکی (مقاومت بیرونی R_{ext}) و با استفاده از رابطه $I = EMFC / R_{ext}$ محاسبه شد که EMFC = $P = EMFC^2 / R_{ext}$ تولیدی نیز با استفاده از روابط زیر محاسبه شد

$$P = EMFC^2 / R_{ext} \quad (6)$$

$$P = I^2 R_{ext} \quad (7)$$

^۱ MATLAB 7.1

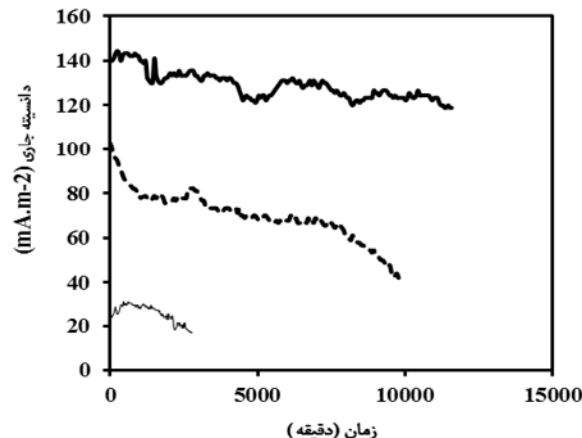
^۲ Ivium, Netherland



شکل ۴- منحنی پلاریزاسیون (الف) و دانسیته توان (ب) در سه پیل با غلظت اولیه $1/0, 0/8$ و $1/5$ گرم در لیتر از سولفید

همان طور که از نتایج مشخص است، هرچه غلظت سولفید موجود در آنولیت بیشتر باشد، توان و جریان تولیدی بیشتر خواهد بود. این بهبود عملکرد به سبب افزایش واکنش‌های الکتروشیمیایی در غلظت‌های بالاتر سولفید است. این پدیده را نیز می‌توان با استفاده از ولتاوتمتری چرخه‌ای اثبات کرد. تاکنون روش‌های ولتاوتمتری مختلفی برای بررسی واکنش‌های الکتروشیمیایی گسترش یافته است که ولتاوتمتری چرخه‌ای یکی از این روش‌ها است. این روش یکی از متداول‌ترین روش‌ها برای بررسی انتقال الکترون از میکروارگانیسم‌ها، بیوفیلم و واسطه‌های انتقال الکترون از محیط آبی به سطح الکترود است [۱۴ و ۱۵]. پتانسیواستات‌های مدرن عموماً^۱ از سه الکترود استفاده می‌نمایند که شامل الکترود کاری،^۲ الکترود مرجع^۳ و الکترود کمکی^۳ است. الکترود کاری الکترودی است که در آن واکنش اصلی صورت می‌گیرد و پتانسیل اعمال شده بر روی این الکترود با استفاده از الکترود مرجع کنترل می‌شود و

در لیتر در ابتدا 100 میلی‌آمپر بر مترمربع بود و سپس به مقدار 80 میلی‌آمپر بر متر مربع کاهش یافت و به مدت 3 روز در این شرایط باقی ماند. این مقدار در دو پیل با غلظت‌های اولیه $1/5$ گرم در لیتر و $1/0$ گرم در لیتر به ترتیب 140 و 30 میلی‌آمپر بر مترمربع بود. برای اندازه‌گیری توان تولیدی پیل، در مدت زمان‌های مشخص مقاومت از مسیر مدار خارجی جدا شد و بعد از رسیدن به شرایط ثابت، از سیستم آزمون پلاریزاسیون گرفته شد. سپس مقاومت دوباره بر سر راه مدار قرار داده می‌شد. نوسان‌های مشاهده شده در منحنی‌ها به همین علت است. پس از رسیدن پیل‌ها به مقدار ثابت و بیشینه خود، آزمون پلاریزاسیون از سه سیستم تهیه شد و نمودار پلاریزاسیون و دانسیته توان در این شرایط رسم شد (شکل ۴). با توجه به شکل، دانسیته توان و جریان تولیدی در پیل‌هایی با غلظت اولیه $1/0, 0/8$ و $1/5$ گرم در لیتر به ترتیب $48/65, 32/88$ و $5/77$ میلی‌ولت بر مترمربع و $231/47, 147/75$ و $31/63$ میلی‌آمپر بر مترمربع بوده است. خلاصه نتایج به دست آمده در جدول ۱ ارائه شده است.



شکل ۳- جریان تولیدی در سه پیل با غلظت اولیه $1/0, 0/8$ و $1/5$ گرم در لیتر از سولفید پس از قرار دادن مقاومت 1 کیلو اهم در مدار خارجی

جدول ۱- شرایط به دست آمده با استفاده از غلظت‌های مختلف سولفید در پیل سوختی میکروبی

غلظت اولیه غلظت اولیه (g/L)	P_{\max} (mW/m^2)	$I_{\max \text{ in } P_{\max}}$ (mA/m^2)	ولتاژ مدار در شرایط پایدار (mV)
$0/8$	$32/88$	$147/75$	960
$1/5$	$48/65$	$231/47$	1070
$0/1$	$5/77$	$31/63$	654

¹ Working Electrode

² Reference Electrode

³ Auxiliary Electrode

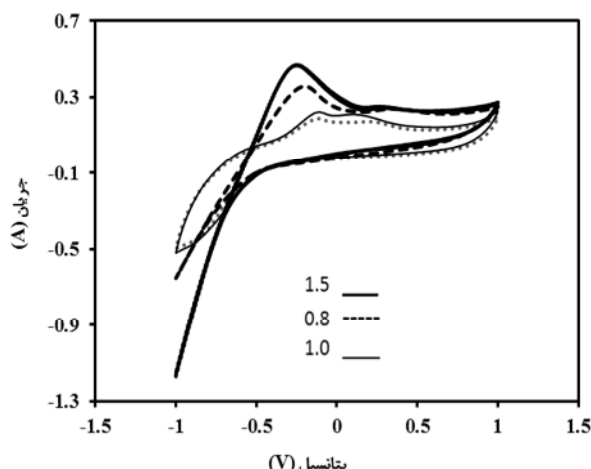
در پیل با غلظت اولیه $1/0$ گرم در لیتر نزدیک به 98% درصد سولفید تزریقی را حذف کرد. پایداری ولتاژ مدار باز پس از حذف کامل سولفید و همچنین افزایش دانسته جریان می‌تواند به علت حضور باکتری‌های اکسندره سولفور در میکروارگانیسم مخلوط تصفیه‌خانه باشد. در پیل با غلظت اولیه $1/5$ گرم در لیتر پس از اندازه‌گیری غلظت سولفید در روز دهم مشاهده شد که مقدار آن قابل چشم‌پوشی است و نزدیک به کل سولفید موجود در آنولیت حذف شد. همچنین با اندازه‌گیری غلظت سولفید در پیل با غلظت اولیه $1/0$ گرم در لیتر مشخص شد که در ساعت بیست و یکم نزدیک به کل سولفید تزریقی در پیل حذف شد.

۴- نتیجه‌گیری

در این پژوهش، پیل سوختی میکروبی دو محفظه‌ای با استفاده از محیط کشت مخلوط تهیه شده از تصفیه‌خانه قائم‌شهر راه‌اندازی شد. تأثیر سه غلظت سولفید شامل $1/0$ ، $1/5$ و $1/8$ گرم در لیتر بر عملکرد پیل و همچنین حذف و اکسایش آن در محفظه آندی بررسی شد. با توجه به نتایج حاصله مشاهده شد هرچه غلظت سولفید موجود در آنولیت بیشتر باشد، توان و جریان تولیدی پیل بیشتر خواهد بود. بیشترین توان برای سولفید در غلظت $1/5$ گرم در لیتر حاصل شد. غلظت $1/0$ گرم در لیتر سولفید در آنولیت بعد از ۲۴ ساعت، $1/8$ گرم در لیتر سولفید بعد از ۶ روز و غلظت $1/5$ گرم در لیتر سولفید بعد از ۱۰ روز از محفظه آندی حذف شد. دانسته توان و جریان بیشینه حاصله در پیل شامل $1/5$ گرم در لیتر سولفید به ترتیب $48/65$ میلی‌وات بر مترمربع و $231/47$ میلی‌آمپر بر مترمربع بود.

الکترود کمکی نیز برای تنظیم جریان مورد نیاز بر روی الکترود کاری استفاده می‌شود.

شکل ۵ ولتاژ‌گرام‌های تهیه شده از آنولیت این سه پیل در سه غلظت مختلف و همچنین پیل بدون سوبسترا را نشان می‌دهد. همان‌طور که در این شکل دیده می‌شود با افزایش غلظت سولفید از $1/0$ به $1/5$ گرم در لیتر و سپس به $1/8$ گرم در لیتر، پیک حاصله در ولتاژ‌گرام‌های رسم شده بیشتر و محسوس‌تر می‌شود.



شکل ۵- نمودار ولتاژی چرخه‌ای تهیه شده از آنولیت چهار پیل شامل میکروارگانیسم مخلوط تصفیه‌خانه بدون سوبسترا، پیل‌های با غلظت اولیه $1/0$ ، $1/5$ و $1/8$ گرم در لیتر از سولفید، سرعت پویش در انجام آزمایش 20 میلی‌ولت بر ثانیه

با بررسی نتایج حاصل از اندازه‌گیری سولفید به روش الکتروشیمیایی مشخص شد که در روز ششم، پیل سوختی میکروبی

۵- مراجع

- Lewis, N. S., and Nocera, D. G. (2006). "Powering the planet: Chemical challenges in solar energy utilization." *Proc. Natl. Acad. Sci.*, 103, 15729-15735.
- Logan, B. (2004). "Biologically extracting energy from wastewater: Biohydrogen production and microbial fuel cells." *Environ. Sci. Technol.*, 38, 160-167.
- Mohan, Y., and Das, D. (2009). "Effect of ionic strength, cation exchanger and inoculum age on the performance of Microbial Fuel Cells." *Int. J. Hydrogen Energy*, 34, 7542-7546.
- Bard, A. J., and Faulkner, L. R. (1980). *Electrochemical methods: Fundamentals and applications*, Wiley, New York.
- Timmers, R. A., Strik, D. P., Hamelers, H. V., and Buisman, C. J. (2010). "Long-term performance of a plant microbial fuel cell with *Spartina anglica*." *Appl. Microbiol. Biotechnol.*, 86, 973-981.
- Palmer, I., Seymour, C. M., and Dams, R. A. (1995). Application of fuel cells to power generation systems. Google Patents, Patents number: 1540-1589.

7. Blomen, L. J., and Mugerwa, M. N. (1993). *Fuel cell systems*, Plenum Publishing Corporation, New York and London.
8. Allen, R. M., and Bennetto, H. P. (1993). "Microbial fuel-cells." *Appl. Biochem. Biotechnol.*, 39, 27-40.
9. Rodrigo, M., Canizares, P., Lobato, J., Paz, R., Saez, C., and Linares, J. (2007). "Production of electricity from the treatment of urban waste water using a microbial fuel cell." *J. Power Sources*, 169, 198-204.
10. Lee, C.-Y., Ho, K.-L., Lee, D.-J., Su, A., and Chang, J.-S. (2012). "RETRACTED: Electricity harvest from wastewaters using microbial fuel cell with sulfide as sole electron donor." *Int. J. Hydrogen Energy*, 37, 15787-15791.
11. Sun, M., Mu, Z.-X., Chen, Y.-P., Sheng, G.-P., Liu, X.-W., Chen, Y.-Z., et al. (2009). "Microbe-assisted sulfide oxidation in the anode of a microbial fuel cell." *Environ. Sci. Technol.*, 43, 3372-3377.
12. Zhao, F., Rahunen, N., Varcoe, J. R., Roberts, A. J., Avignone-Rossa, C., Thumser, A. E., et al. (2009). "Factors affecting the performance of microbial fuel cells for sulfur pollutants removal." *Biosens. Bioelectron*, 24, 1931-1936.
13. Rabaey, K., Van de Sompel, K., Maignien, L., Boon, N., Aelterman, P., Clauwaert, P., et al. (2006). "Microbial fuel cells for sulfide removal." *Environ. Sci. Technol.*, 40, 5218-5224.
14. Cai, J., and Zheng, P. (2013). "Simultaneous anaerobic sulfide and nitrate removal in microbial fuel cell." *Bioresour. Technol.*, 128, 760-764.
15. Zhang, B., Zhao, H., Shi, C., Zhou, S., and Ni, J. (2009). "Simultaneous removal of sulfide and organics with vanadium (V) reduction in microbial fuel cells." *J. Chem. Technol. Biotechnol.*, 84, 1780-1786.